

Aula 7 - Laboratório de Controle - 2022/1

Sistemas discretos: discretização e estabilidade

Nome(s): Lázaro Villela Neto e Victoria Nippes

```
I=10 ;  
turma=1 ;  
g=init(turma,I)
```

g =

```
          360  
-----  
s^2 + 40 s + 400
```

Continuous-time transfer function.

```
datetime('now')
```

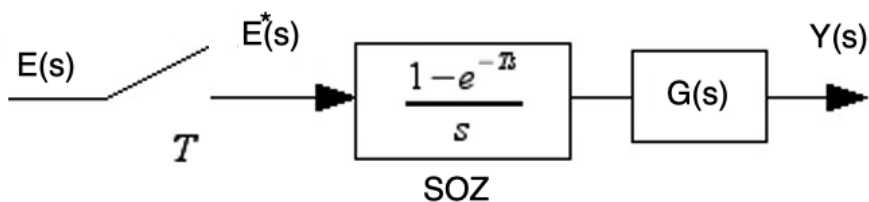
```
ans = datetime  
      22-Jun-2022 07:05:33
```

Nesta aula um sistema contínuo será discretizado e analisado em malha aberta e malha fechada.

Atividade 1 - Discretização da FT de malha aberta

Dada a FT contínua $G(s)$, a FT discreta $G(z)$ é obtida de $G(z) = Z\left[\frac{1 - e^{-Ts}}{s} G(s)\right]$. Nos instantes de amostragem, a saída discretizada e a contínua são iguais.

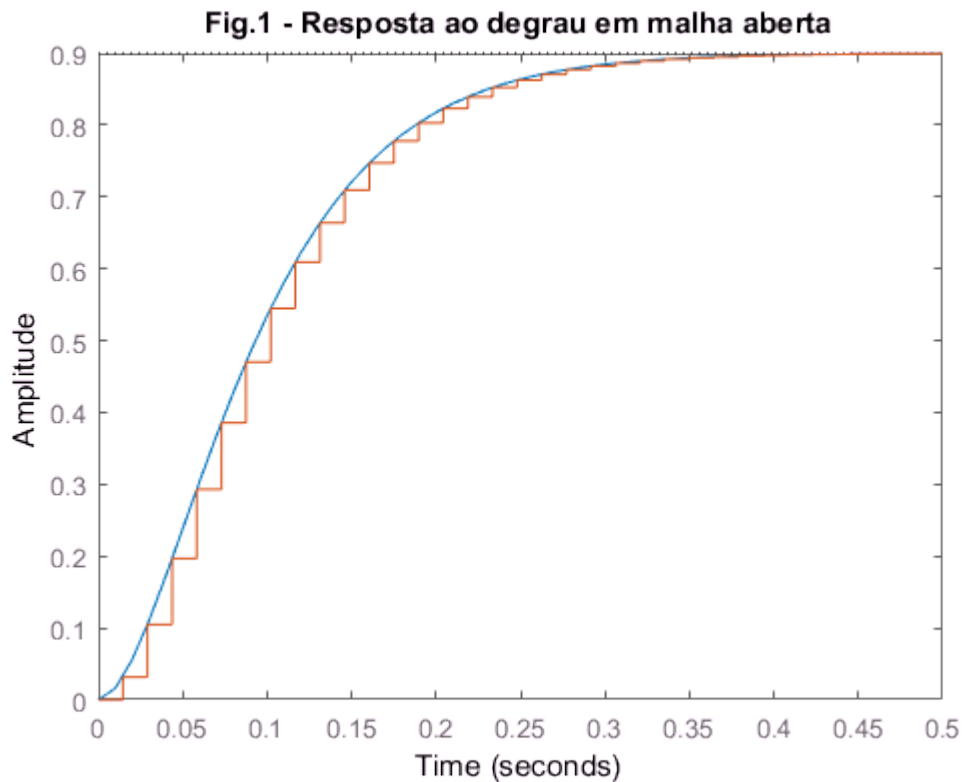
O tempo de amostragem usado aqui será $1/20$ do tempo de estabelecimento t_s , que equivale a $1/5$ da constante de tempo. Logo, o tempo de amostragem $T = t_s/20$ será usado para obter a FT discretizada $G_d(G(z))$.



```
S=stepinfo(g);  
T=S.SettlingTime/20
```

T = 0.0146

```
gd=c2d(g,T);  
figure  
step(g,gd);title('Fig.1 - Resposta ao degrau em malha aberta')
```



1.1 Sabendo que a discretização mapeia um polo em $s = -a$ mapeia o polo do plano s para o polo do plano z em $z = e^{-aT}$, ou seja, $G(z) = Z\left[\frac{1}{s+a}\right] = \frac{z}{z - e^{-aT}}$ compare os polos de g e de gd .

Resposta: Vemos que no sistema contínuo, temos dois polos reais em -20 e no mapeamento pro discreto, temos dois polos reais em 0.7469.

Para o contínuo

```
pole(g)
```

ans =

-20
-20

•

Para o discreto:

```
pole(gd)
```

ans =

0.7469
0.7469

•

1.2 Sabendo que sistemas contínuos com resposta rápida têm polos no semiplano esquerdo longe da origem, onde estão os polos de sistemas discretos rápidos? (Dica: usar a expressão de 1.1).

Resposta:

Os polos de sistemas discretos rápidos estão do lado esquerdo do plano, e mais pertos da origem. Podemos provar essa afirmação, pela expressão $z = e^{-aT}$, e demonstrar convertendo um valor de polo que sabemos que traz uma resposta rápida no sistema contínuo para o discreto e uma que sabemos que traz uma resposta lenta e realizar a mesma discretização, mostrando assim a posição no eixo.

No exemplo, temos g1, com uma resposta mais lenta no contínuo, e g2, como uma mais rápida no contínuo. Ao discretizar, e comparar os polos, vemos que o polo de g1d, que é mais lento, está mais longe da origem, e o g2d, que é mais rápido, está mais próximo da origem.

```
g1 = tf(1, [1 1]);  
gd1=c2d(g1,T);  
g2 = tf(1, [1 10]);  
gd2=c2d(g2,T);  
% Polo contínuo e discreto de g1  
[pole(g1) pole(gd1)]
```

```
ans =  
    -1.0000    0.9855
```

•

```
% Polo contínuo e discreto de g2  
[pole(g2) pole(gd2)]
```

```
ans =  
   -10.0000    0.8642
```

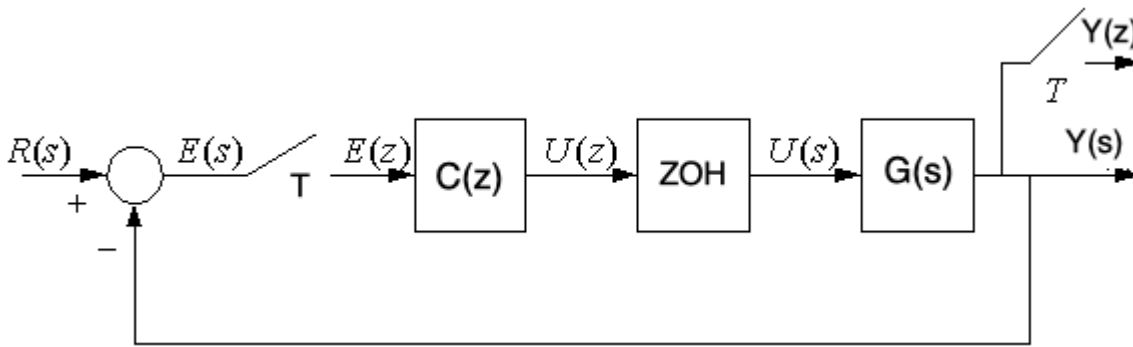
•

Atividade 2 - Avaliação do efeito do ganho no caso contínuo e no caso discreto

Em malha fechada, o controlador discreto $C(z)$ é aplicado ao sistema contínuo dado pela FT $G(s)$. Um segurador de ordem zero (SOZ) mantém o sinal de controle $U(s)$ aplicado constante entre instantes de amostragem T .

A função de transferência discreta de malha fechada para o diagrama abaixo é dada por

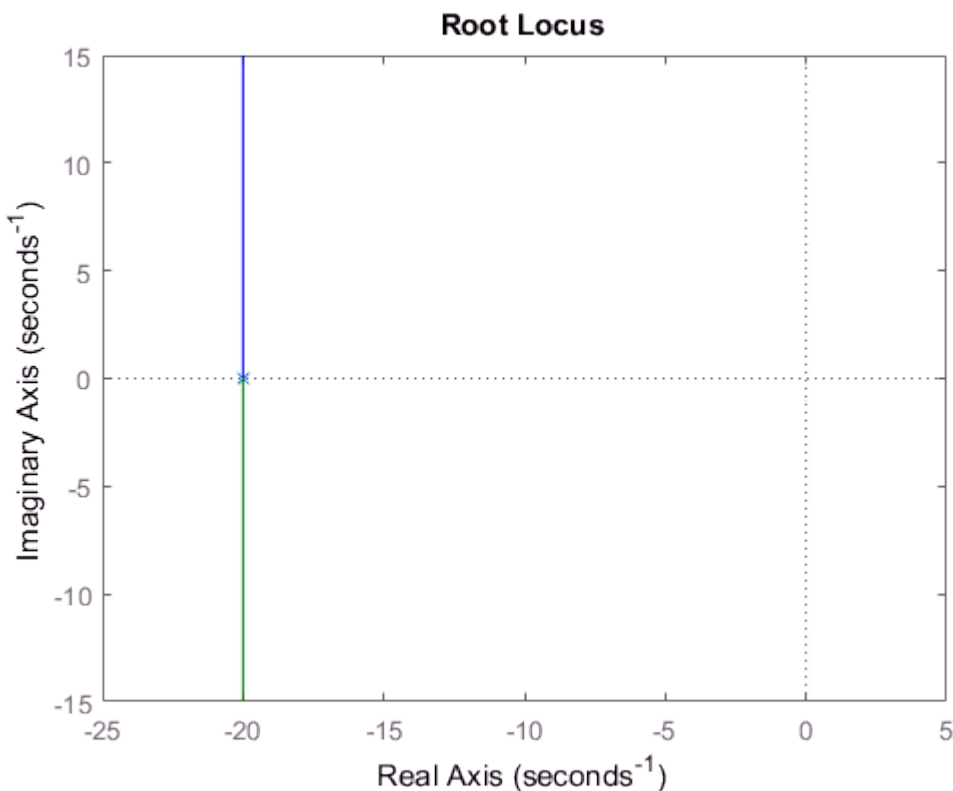
$$M(z) = \frac{C(z)G(z)}{1 + C(z)G(z)}, \text{ com } G(z) = Z\{SOZ * G(s)\}.$$



Nesta atividade se avalia a diferença do comportamento do sistema contínuo e discreto em malha fechada quando o ganho varia, fazendo, $C(z) = K$.

2.1 Use o comando `rlocus` e avalie o efeito do aumento do ganho K nos polos do sistema contínuo em malha fechada, ou seja, o efeito de K em $1 + KG(s) = 0$.

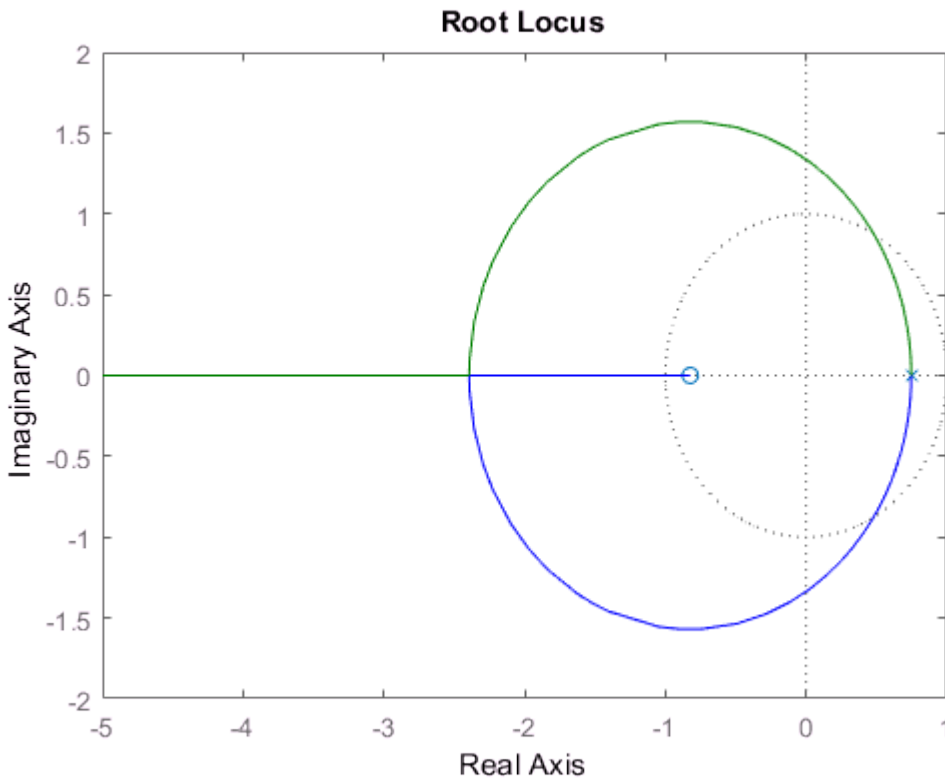
```
rlocus(g)
```



Resposta: Com o aumento de K , os polos se deslocam no eixo imaginário, partindo de $[0,0]$ até $[0, -\infty]$ e $[0, +\infty]$.

2.2 Use o comando `rlocus` e avalie o efeito do aumento do ganho K nos polos do sistema discreto em malha fechada, ou seja, o efeito de K em $1 + KG(z) = 0$ (gd é $G(z)$).

```
rlocus(gd)
```



Resposta:

Em $K=0$ os polos são reais e se concentram em 0.7469, e a medida que o K aumenta, os polos percorrem o círculo unitário (tendo componentes reais e complexas) até cerca de $K=200$, onde voltam a ser polos reais, e a partir de então, os polos se separam, e um deles tende a $-\infty$ e o outro a -0.8232 , de $K > 200$ até ∞ .

2.3 Para que valores de K o sistema discreto é estável?

Resposta:

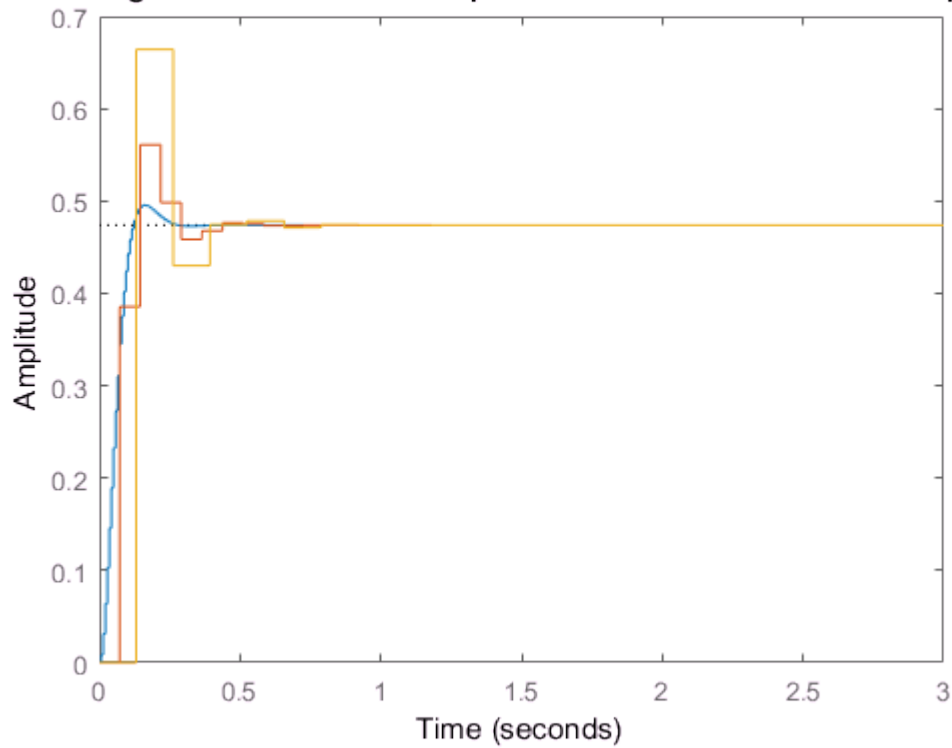
Será estável quando os polos estiverem dentro do círculo unitário

Atividade 3 - Avaliação do efeito do tempo de amostragem

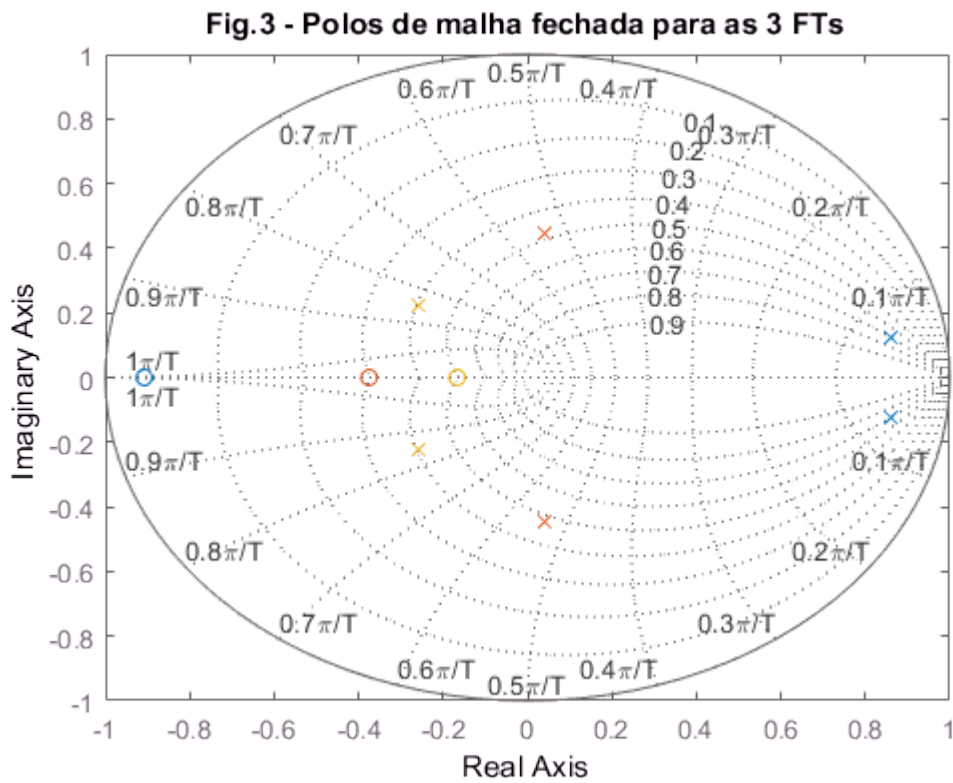
Os comandos abaixo geram 3 FTs discretas, cada uma com um tempo de amostragem diferente e crescente. Escolha estes valores de modo a ter respostas estáveis mas com sobrelevação crescente.

```
T1=[0.5 5 9]*T; % Escolher valores crescentes
gd1=c2d(g,T1(1));
gd2=c2d(g,T1(2));
gd3=c2d(g,T1(3));
m1=feedback(gd1,1);
m2=feedback(gd2,1);
m3=feedback(gd3,1);
figure;
step(m1,m2,m3);title('Fig.2 - Resposta ao degrau em malha fechada para as 3 FTs com diferentes
```

esposta ao degrau em malha fechada para as 3 FTs com diferentes tempos de



```
figure
pzmap(m1,m2,m3);title('Fig.3 - Polos de malha fechada para as 3 FTs');grid
```



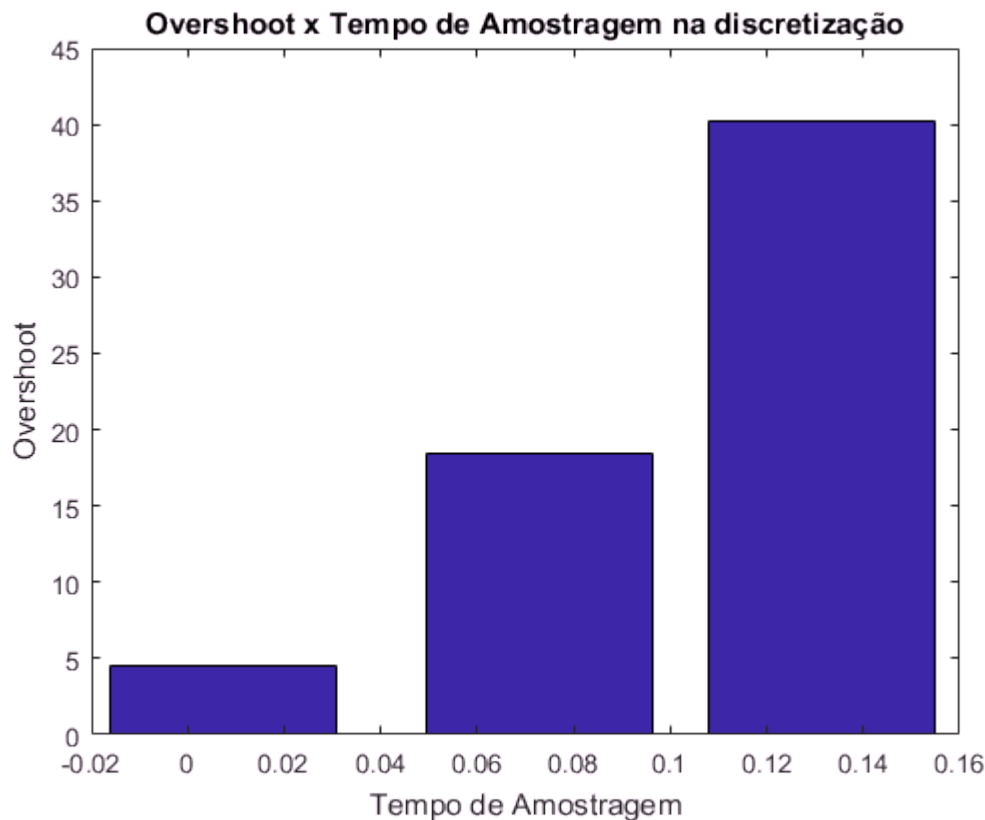
3.1 Compare a localização dos polos e a resposta ao degrau e explique a relação da localização dos polos no plano z e a respectiva resposta ao degrau em termos de sobrelevação. Dica: observe as curvas de amortecimento constante.

Resposta:

Nota-se com a figura 2, que como esperado, um maior tempo de amostragem nos trás uma pior resposta ao degrau, visto que o controlador demora mais para atuar na correção do erro, e portando obtendo uma maior sobrelevação e também um maior tempo de estabelecimento. Com a figura 3, podemos comparar os polos para cada resposta. Para o $T=0.1$, vemos que a constante de amortecimento ζ é próxima de 0.8, enquanto para o tempo de amostragem $T=5$, temos que $0.4 < \zeta < 0.5$, e para $T=9$, temos que o fator de amortecimento é o menor de todos, se aproximando de 0.4. Podemos ver então que a localização dos polos no plano Z tem relação direta com o tempo de amostragem, portanto é necessário observar a sua escolha a fim de obter a correta resposta projetada.

3.2 Faça um gráfico de barras dos tempos de amostragem versus a sobrelevação para os três casos acima, escrevendo as linhas de código abaixo.

```
S1=stepinfo(m1);  
S2=stepinfo(m2);  
S3=stepinfo(m3);  
UP=[S1.Overshoot S2.Overshoot S3.Overshoot];  
figure  
bar(T1, UP)  
xlabel("Tempo de Amostragem");ylabel("Overshoot")  
title("Overshoot x Tempo de Amostragem na discretização")
```



Atividade 4 - Avaliação da sintonia de um controlador contínuo discretizado

Usualmente se projeta os controladores usando FTs contínuas, e depois se discretiza o controlador para a implementação controlando uma planta contínua, como mostrado na figura da atividade 2.

Os comandos abaixo aproximam a FT de ordem 2 por uma de ordem 1, como feito na aula 6. A seguir, é feita a sintonia de um controlador PI usando o método lamba, com um valor de lambda que deve ser escolhido e justificado (ver relatório 6). Lembre-se que lambda é a constante de tempo de malha fechada, e deve ser menor que a constante de tempo de malha aberta.

```
lambda=0.05; %Escolher lambda

[y,t]=step(g);
delay=t(sum(y<0.1*y(end)));
tau=t(sum(y<0.63*y(end)))-delay
```

```
tau = 0.0800
```

```
Kp=y(end)
```

```
Kp = 0.8991
```

```
g1=tf(Kp,[tau 1], 'InputDelay',delay)
```

```
g1 =
```

$$\exp(-0.02*s) * \frac{0.8991}{0.08 s + 1}$$

Continuous-time transfer function.

```
C=sintonia(g1,'PI','lam',lambda)
```

```
C =
```

$$K_p + K_i * \frac{1}{s}$$

with $K_p = 2$, $K_i = 22.2$

Continuous-time PI controller in parallel form.

```
Cd=c2d(C,T)
```

```
Cd =
```

$$K_p + K_i * \frac{T_s}{z-1}$$

with $K_p = 2$, $K_i = 22.2$, $T_s = 0.0146$

Sample time: 0.014591 seconds

Discrete-time PI controller in parallel form.


```
Mry=feedback(Cd*gd,1)
```

Mry =

$$\frac{0.06331 z^2 - 0.0009319 z - 0.04366}{z^3 - 2.431 z^2 + 2.051 z - 0.6015}$$

Sample time: 0.014591 seconds
Discrete-time transfer function.

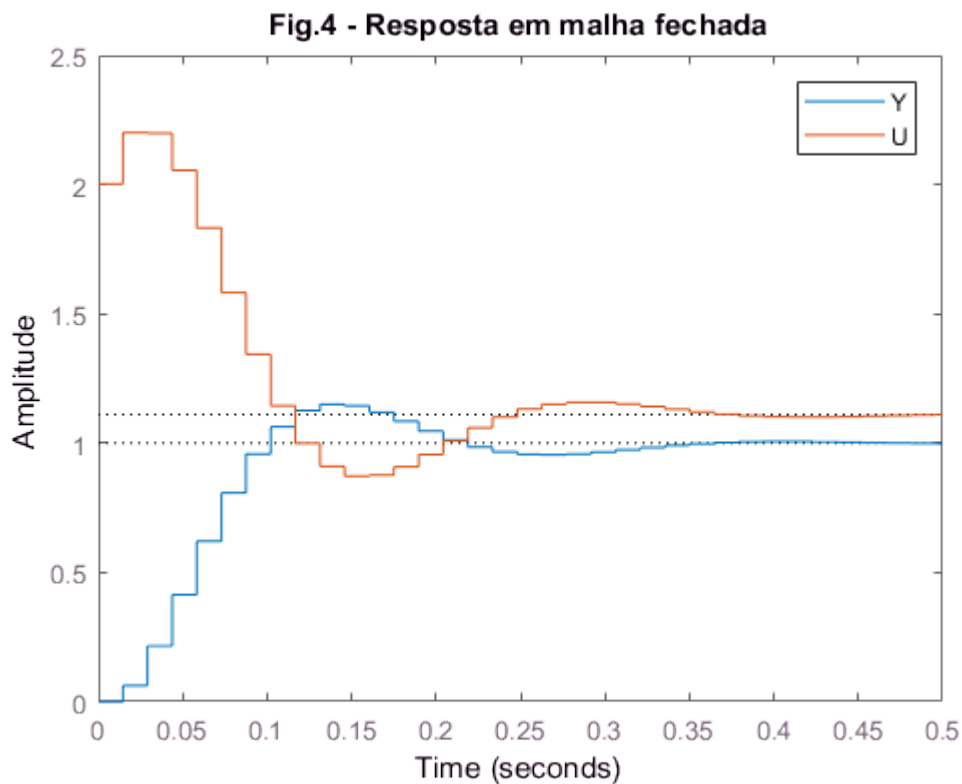
```
Mru=feedback(Cd,gd)
```

Mru =

$$\frac{2.002 z^3 - 4.668 z^2 + 3.623 z - 0.9358}{z^3 - 2.431 z^2 + 2.051 z - 0.6015}$$

Sample time: 0.014591 seconds
Discrete-time transfer function.

```
step(Mry,Mru);title('Fig.4 - Resposta em malha fechada');legend('Y', 'U')
```



4.1 Explique a Fig.4 e os passos que foram seguidos desde o projeto (usando $G(s)$ e escolhendo λ) até a implementação deste controlador na forma discreta.

Resposta: A constante de tempo de malha aberta, como observada na resposta ao degrau da função de transferencia, é 0.11 [s]. Portanto, escolhemos um valor de $\lambda \leq 0.11$ [s]. A figura 4 nos mostra o sinal de controle U, e a saída do sistema Y.

Para a construção da figura, foi escolhido um λ arbitrário menor do que 0.11, e sintonizado um controlador de ordem 1 usando a sintonia lambda, calculando os parametros a partir do λ escolhido. O controlador foi então discretizado e plotados a saída Y em relação a entrada R(s), e a saída U em relação a entrada R(s) de malha fechada.



4.2 Explique como avaliar este controlador para tempos de amostragem maiores. Pode usar código para ilustrar.

Resposta:



Observa-se que com o aumento do tempo de amostragem, há uma demora maior na estabilização do sistema, possibilidade de instabilidades e outros problemas, como aumento de sobressinal. Podemos avaliar então a qualidade do controlador pelo tempo de amostragem observando a sua resposta aos diferentes tempos de amostragem, e obtendo um tempo de amostragem adequado para o tipo de planta a ser controlado.